

03.05.11

Аномальное влияние внешнего магнитного поля на спиновые флуктуации в магнитных полупроводниках с сильной *pd*-гибридизацией и эффект колоссального магнитосопротивления

© А.Г. Волков, А.А. Повзнер

Уральский федеральный университет им. Б.Н. Ельцина,
Екатеринбург, Россия
E-mail: agvolkov@yandex.ru

(Поступила в Редакцию 30 января 2012 г.
В окончательной редакции 26 апреля 2012 г.)

Эффект колоссального магнитосопротивления в магнитных полупроводниках на основе манганитов лантана исследуется в рамках модели, учитывающей эффекты *pd*-гибридизации и межэлектронных кулоновских корреляций. Рассматривается влияние внешнего магнитного поля на спиновые флуктуации в условиях, когда химический потенциал находится в узкой зоне тяжелых фермионов, которая формируется в гибридной щели. Показано, что вблизи точки Кюри вследствие значительного спинового ангармонизма имеет место аномально резкое подавление спиновых флуктуаций магнитным полем, что обуславливает значительный вклад в формирование колоссального отрицательного магнитосопротивления.

Исследованиям фазовых магнитных переходов и спинтронных эффектов в магнитных полупроводниках посвящено большое число теоретических и экспериментальных работ (см., например, [1–7]). Важной нерешенной фундаментальной задачей является исследование причин аномальной взаимосвязи магнитной и электронной подсистем, в частности, для широко используемых в спинтронике манганитов редкоземельных металлов, легированных элементами второй группы. Ярким проявлением этой взаимосвязи является эффект колоссального магнитосопротивления (КМС), наблюдаемый в окрестности магнитного перехода [2–5,7].

Существующие теории КМС магнитных полупроводников основаны на предположении об аномальном изменении вклада в электросопротивление от рассеяния электронов на спиновых неоднородностях [2,3,7]. Считается, что в ферромагнитной области температур в окрестности точки Кюри рассеяние на магнитных неоднородностях, обусловленных примесями (т.е. неоднородностью межузельного обменного взаимодействия), ведет к андерсоновской локализации электронов проводимости, которую характеризует порог протекания [2,7]

$$E_C = \Delta_0 - \Delta_1(M(T)/M_S)^2, \quad (1)$$

где $M(T)$ и M_S — намагниченность и намагниченность насыщения, Δ_0 и Δ_1 — некоторые константы [2,7]. Однако до сих пор не выяснено, с какими особенностями электронной структуры связано возникновение КМС и формирование столь специфического магнитного беспорядка (см., например, [3,6]).

Применительно к объяснению КМС манганитов редкоземельных металлов вблизи и ниже точки Кюри в работах [4,5] развивалась модель двойного обмена (или *pd*-обмена), приводящего к гибридации электронных спиновых состояний. Особенности электронной структуры

манганитов лантана были изучены в *ab initio* LSDA + U-расчетах [8], в результате которых было показано наличие внутри гибридной щели узкой зоны сильно коррелированных электронных состояний. Попытка анализа спиновых флуктуаций в узкой зоне тяжелых фермионов, возникающей вследствие гибридных эффектов, была предпринята в [9] при расчетах температурной зависимости электросопротивления в рамках модели с гамильтонианом, учитывающим гибридную „почти свободных“ *p*-электронов и *d*-электронов, описываемых гамильтонианом Хаббарда. Однако развитый подход был основан на предположении, что среднеквадратичный магнитный момент, приходящийся на узел, насыщен и не зависит от внешнего магнитного поля. Поэтому роль спиновых флуктуаций в формировании эффекта КМС в гибридной модели до сих пор не изучалась. Также остается невыясненным вопрос о причинах аномально сильного влияния внешнего магнитного поля на проводимость при $T > T_C$ [10].

В настоящей работе исследуется влияние внешнего магнитного поля на эффекты гибридации „почти свободных“ *p*-электронов и сильно коррелированных *d*-электронов, описываемых обобщенной моделью Хаббарда. Исходный гамильтониан рассматриваемой модели имеет вид

$$H = H_{0p} + H_{0d} + H_{pd} + H_U + H_h. \quad (2)$$

Здесь $H_{0p} = \sum_{\mathbf{k},\sigma} \epsilon_{\mathbf{k}}^{(p)} p_{\mathbf{k},\sigma}^{\dagger} p_{\mathbf{k},\sigma}$ и $H_{0s} = \sum_{\mathbf{k},\sigma} \epsilon_{\mathbf{k}}^{(d)} d_{\mathbf{k},\sigma}^{\dagger} d_{\mathbf{k},\sigma}$ — гамильтонианы невзаимодействующих *p*- и *d*-электронов; $\epsilon_{\mathbf{k}}^{(l)} = \epsilon^{(0,l)} + t_{\mathbf{k}}^{(l)}$ — одноэлектронные энергии *p*- и *d*-состояний ($l = p, d$), выражающиеся через Фурье-образ матрицы перескока $t_{\nu\mu}^{(l)}$ и значение энергии одноэлектронного атомного уровня $\epsilon^{(0,l)}$, отсчитываемого от положения химического потенциала; $p_{\mathbf{k},\sigma}^{\dagger}(p_{\mathbf{k},\sigma})$ и $d_{\mathbf{k},\sigma}^{\dagger}(d_{\mathbf{k},\sigma})$ — операторы рождения (уничтожения) *p*- и

d -электрона с квазиимпульсом \mathbf{k} и спином σ соответственно; $H_U = U \sum_{\mathbf{v}} N_{\mathbf{v}\uparrow}^{(d)} N_{\mathbf{v}\downarrow}^{(d)}$ — гамильтониан Хаббарда;

$N_{\mathbf{v}}^{(d)}$ — оператор числа d -электронов со спином $\sigma = \pm 1$ на узле \mathbf{v} ; $H_h = - \sum_{\mathbf{v}, l=p, d} \mathbf{S}_{\mathbf{v}}^{(l)} \mathbf{h}$ — гамильтониан зеемановского расщепления; $\mathbf{S}_{\mathbf{v}}^{(l)}$ — оператор вектора спина на узле \mathbf{v} ; \mathbf{h} — напряженность однородного магнитного поля в единицах $2\mu_B$; μ_B — магнетон Бора;

$$H_{pd} = \sum_{\mathbf{k}, \sigma} V_{\mathbf{k}} (d_{\mathbf{k}, \sigma}^+ p_{\mathbf{k}, \sigma} + p_{\mathbf{k}, \sigma}^+ d_{\mathbf{k}, \sigma}) \quad (3)$$

— гамильтониан, описывающий гибридационные переходы между p - и d -состояниями.

Ограничиваясь далее анализом окрестности магнитного фазового перехода, соответствующей режиму крупномасштабных флуктуаций спиновой плотности ($r_t \ll R_C$, где R_C — радиус корреляций спиновой плотности, а r_t — максимальное значение радиуса перескока), найдем статистическую сумму Z и электронные функции Грина.

Прежде чем перейти к мацубаровскому представлению взаимодействия, определим статистическую сумму рассматриваемой модели

$$Z = \text{Sp} T_{\tau} \sigma(1/T),$$

где $\sigma(1/T) = \text{Sp} T_{\tau} \exp(-\int_0^{1/T} H(\tau) d\tau)$ — матрица рассеяния, T_{τ} — оператор упорядочения по мацубаровскому времени, $H(\tau)$ — гамильтониан (2) в мацубаровском представлении взаимодействия.

Далее целесообразно слагаемое кулоновского внутриатомного взаимодействия исходного гамильтониана (2) привести к виду, содержащему квадратичные формы по операторам спиновой и зарядовой плотности. Это позволяет при расчете статистической суммы использовать преобразование Лапласа и свести задачу учета межэлектронных внутриатомных корреляций к изучению движения d -электронов в стохастических обменных (ξ) и зарядовых (η) полях (см., например, [11,12]). Имеем

$$\exp\left(-\int_0^{\beta} H_U(\tau) d\tau\right) = \int \exp\left[-\sum_q \left(|\xi_q|^2 + |\eta_q|^2\right) + \beta c \sum_q \left(\mathbf{S}_q^{(d)} \xi_q + \frac{i}{2} N_q^{(d)} \eta_q\right)\right] (d\xi d\eta),$$

где $\beta = 1/T$; T — температура в энергетических единицах; $c = (UT)^{1/2}$; $\mathbf{S}_q^{(d)}$ и $N_q^{(d)}$ — Фурье-образы операторов (в представлении взаимодействия) вектора спина и числа частиц d -электронов; $q = (\mathbf{q}, \omega_{2n})$; \mathbf{q} — флуктуационный квазиимпульс; $\omega_{2n} = 2n\pi T$ — мацубаровская Бозе-частота; $\xi_q = \xi_{-q}^* = \xi_q^{(1)} + i\xi_q^{(2)}$, $\xi_q^{(j)} = \xi_q^{(j)} \mathbf{e}_q^{(j)}$, $\mathbf{e}_q^{(j)}$ — случайный единичный вектор, направленный вдоль оси квантования Фурье-образа оператора спина

d -электронов; индексом $j = 1, 2$ обозначены действительная и мнимая части;

$$\eta_q = \eta_{-q}^* = \eta_q^{(1)} + i\eta_q^{(2)};$$

$$d\xi d\eta = (d\xi_0 d\eta_0 / \pi^2) \prod_{q>0} \prod_{j=1,2} (d\xi_q^{(j)} d\eta_q^{(j)} / \pi^2),$$

$d\Omega_q^{(j)}$ — элемент телесного угла направлений вектора $\mathbf{e}_q^{(j)}$.

При этом действие стохастических полей „конкурирует“ с влиянием внешнего магнитного поля на электронные состояния. В свою очередь гибридационные эффекты обуславливают воздействие внутренних стохастических полей (описывающих сильные кулоновские корреляции) на p -электроны.

Для последовательного учета гибридационных эффектов при расчете статистической суммы целесообразно сделать два дополнительных линейных преобразования. Первое соответствует повороту локальной системы координат для операторов спиновой плотности и сводится к введению симметризованных ($\alpha = +1$) и антисимметризованных ($\alpha = -1$) по спину электронных состояний

$$a_{v,\alpha} = \sqrt{1/2} [d_{v,\uparrow} (\cos \varphi_v + \alpha e^{-i\varphi_v} \sin \varphi_v) + d_{v,\downarrow} (\alpha e^{-i\varphi} \cos \varphi_v - \sin \varphi_v)],$$

$$b_{v,\alpha} = \sqrt{1/2} [p_{v,\uparrow} (\cos \varphi_v + \alpha e^{-i\varphi_v} \sin \varphi_v) + p_{v,\downarrow} (\alpha e^{-i\varphi} \cos \varphi_v - \sin \varphi_v)],$$

где $\text{tg } 2\varphi_v = \xi_v^{(z)} / \xi_v^{(x)}$ и $\text{tg } \varphi_v = \xi_v^{(y)} / \sqrt{\xi_v^{(x)2} + \xi_v^{(z)2}}$.

Второе преобразование диагонализует гибридационные слагаемые, возникающие из-за вклада (3) в исходном гамильтониане (2),

$$A_{k,\alpha}^{(-)} = \cos(\vartheta_{k\alpha}) b_{k,\alpha} - \sin(\vartheta_{k\alpha}) a_{k,\alpha},$$

$$A_{k,\alpha}^{(+)} = \sin(\vartheta_{k\alpha}) b_{k,\alpha} + \cos(\vartheta_{k\alpha}) a_{k,\alpha}.$$

В результате для матрицы рассеяния получаем:

$$\sigma(1/T) = \int \exp(-\beta H(\xi, \eta, \mathbf{h})) \exp\left[-\sum_q (|\xi_q|^2 + |\eta_q|^2) - 2\xi_0 \mathbf{h}/c - (\mathbf{h}/c)^2\right] (d\xi d\eta). \quad (4)$$

Здесь

$$H(\xi, \eta, \mathbf{h}) = \sum_{k,\alpha,\delta} \varepsilon^{(\theta,\alpha)} A_{k,\alpha}^{(\theta)+} A_{k,\alpha}^{(\theta)} + \sum_{k,\alpha,\theta \neq \theta'} \alpha \Xi_{k,\alpha} A_{k,\alpha}^{(\theta)+} A_{k,\alpha}^{(\theta')} + \sum_{v,\alpha,\theta} W_{v,\alpha} A_{v,\alpha}^{(\theta)+} A_{v,\alpha}^{(\theta)} \quad (5)$$

— эффективный гамильтониан рассматриваемой системы электронов, движущихся во внешнем магнитном

поле и стохастических обменном и зарядовом полях,

$$2\varepsilon_{0,\mathbf{k}}^{(\theta,\alpha)} = \varepsilon_{\mathbf{k},\alpha}^{(d)}(\xi, \eta) + \varepsilon_{\mathbf{k},\alpha}^{(p)}(\xi, h) + \theta \left[\left(\varepsilon_{\mathbf{k},\alpha}^{(d)}(\xi, \eta) - \varepsilon_{\mathbf{k},\alpha}^{(p)}(\xi, h) \right)^2 + 4|V_{\mathbf{k}}|^2 \right]^{1/2},$$

$$\Xi_{k,\alpha} = \sin(2\vartheta_{k,\alpha}) \mathbf{h}\xi_0/|\xi|,$$

$W_{v,\alpha} = \alpha\delta|\xi_v| + i\delta\eta_v/2$ — флуктуация в пространстве и времени энергии электрона на узле; $\delta|\xi| = |\xi_v| - |\xi| \approx (|\xi_v|^2 - |\xi|^2)/2|\xi|^2$ и $\delta\eta_v = \eta_v - \eta$ — флуктуации модуля обменного поля и величины зарядового поля, обусловленные пространственно-временными флуктуациями чисел заполнения и модуля вектора спиновой плотности, $k = (\mathbf{k}, \omega_{2n+1})$, $\omega_{2n+1} = (2n+1)\pi T$, θ — индекс гибридизационной зоны, принимающий значения $+1$ и -1 для состояний A - и B -типа соответственно, $v = (v, \tau)$, $|\xi|^2 = (1/N_0) \sum_v \xi_v^2$, $\eta = (1/N_0) \sum_v \eta_v$, $\xi_v = c \sum_q \xi_q \exp(iqv)$, $\eta_v = c \sum_q \eta_q \exp(iqv)$, N_0 — число узлов кристаллической решетки,

$$\sum_v (\dots) = \sum_v T \int_0^\beta (\dots) d\tau,$$

$$\text{tg}(2\vartheta_{k,\alpha}) = V_{\mathbf{k}} / \left(\varepsilon_{\mathbf{k},\alpha}^{(p)}(\xi, h) - \varepsilon_{\mathbf{k},\alpha}^{(d)}(\xi, \eta) \right),$$

$$\varepsilon_{\mathbf{k},\alpha}^{(p)}(\xi, h) = \varepsilon_{\mathbf{k}}^{(p)} - \alpha \mathbf{h}\xi_0/|\xi|,$$

$$\varepsilon_{\mathbf{k},\alpha}^{(d)}(\xi, \eta) = \varepsilon_{\mathbf{k}}^{(d)} + i c \eta / 2 + \alpha c |\xi|.$$

Эффективный гамильтониан (5) содержит существенный нелинейный вклад, обусловленный зеемановским взаимодействием. При этом эффект магнитного поля не сводится к простому расщеплению энергий, а ведет к электронным переходам между A - и B -состояниями, что можно интерпретировать как подавление магнитным полем гибридизации электронных состояний с разным спином. Выполняя далее в (5) квантово-статистическое усреднение и вычисляя функциональные интегралы методом перевала (см., например, [11]), сведем интегрирование по стохастическим полям к вычислению гауссовых интегралов по флуктуациям этих полей вблизи их наиболее вероятной конфигурации.

Выбирая в качестве перевальных переменных ξ_q , ξ_0 и η_q , найдем наиболее вероятную конфигурацию стохастических полей, определяемую наиболее вероятными значениями однородных компонент зарядового ($\eta = \eta_0$) и обменного (ξ_0) полей, а также среднего модуля обменного поля на узле ($|\xi| = (1/N_0) \sum_v \xi_v^2$). Согласно условиям перевала, эти значения оказываются равными

$$|\xi| = (1/N_0) \sum_v \xi_v^2 = (UM_L)^2, \quad c\eta_0 = -iUn_d,$$

$$c\xi_0 = UM(T, \mathbf{h}), \quad (6)$$

где $2n_d$ — число d -электронов, приходящихся на узел, $\mathbf{M}(T, \mathbf{h})$ — вектор однородной намагниченности, $M_L = [(\mathbf{M}(T, \mathbf{h}) + \mathbf{h}/U)^2 + \langle m^2 \rangle]^{1/2}$ — среднеквадратичный магнитный момент на узле, а $(U/T)\langle m^2 \rangle$ — средняя полуширина функции распределения флуктуаций модуля стохастических полей в окрестности наиболее вероятной их конфигурации. В соответствии с условиями перевала (которые приводятся к флуктуационно-диссипативной теореме) величина $\langle m^2 \rangle$ является амплитудой спиновых флуктуаций, а ее зависимость от температуры и внешнего магнитного поля определяется выражением

$$\langle m^2 \rangle = UbT^2 M(T, \mathbf{h}) / (h + U\kappa M(T, \mathbf{h})^3), \quad (7)$$

где b — коэффициент разложения мнимой части функции Линдхарда по частоте, а κ — коэффициент спиновой жесткости [12,13].

Далее вычислим электронные функции Грина, отвечающие A - и B -состояниям, разделенным гибридизационной щелью, с учетом их расщепления флуктуирующими в пространстве и времени стохастическими обменными и зарядовыми полями.

Воспользовавшись определением функции Грина

$$G_k^{(\theta,\alpha)} = \text{Sp}T_\tau \{ A_{k,\alpha}^{(\theta)+} A_{k,\alpha}^{(\theta)} \sigma(1/T) \} / \text{Sp}T_\tau \{ \sigma(1/T) \},$$

построим ряд теории возмущений по параметрам $\Xi_{k,\alpha}$ и $W_{v,\alpha}$. Пренебрегая многократными процессами рассеяния на продольных и зарядовых флуктуациях стохастических полей (которые маловероятны, поскольку описывают флуктуации чисел заполнения на узле, а следовательно, связаны с большими флуктуациями электронных энергий), с учетом приближенного определения конфигурации стохастических полей в методе перевала после аналитического продолжения на действительную ось имеем

$$G^{(\theta,\alpha)}(\omega) = \frac{1}{2} \sum_{\theta'=\pm 1} \left(\omega - \varepsilon_{\mathbf{k}}^{(\theta',\alpha)}(\mathbf{h}) + \alpha i \Gamma_{\theta',\alpha}(\mathbf{k}) \right)^{-1} \times \left(1 + \theta \theta' \frac{\sum_{\gamma=\pm 1} \gamma \varepsilon_{\mathbf{k}}^{(\gamma,\alpha)}(0)}{\sum_{\gamma=\pm 1} \gamma \varepsilon_{\mathbf{k}}^{(\gamma,\alpha)}(\mathbf{h})} \right), \quad (8)$$

где

$$\varepsilon_{\mathbf{k}}^{(\theta,\alpha)}(\mathbf{h}) = \varepsilon_{\mathbf{k},\alpha}^{(p,d)}(M_L, \mathbf{h}) + \theta \left[\left(\Delta \varepsilon_{\mathbf{k},\alpha}^{(p,d)}(M_L, \mathbf{h}) \right)^2 + |V_{\mathbf{k}}|^2 \left(1 + \left(\frac{\mathbf{h}\mathbf{M}/M_L}{\sqrt{\left(\Delta \varepsilon_{\mathbf{k},\alpha}^{(p,d)}(M_L, \mathbf{h}) \right)^2 + |V_{\mathbf{k}}|^2}} \right)^2 \right) \right] \quad (9)$$

— энергии электронных состояний $A_{(\alpha)}(\theta = -1)$ и $B_{(\alpha)}(\theta = +1)$ подзон во внешнем магнитном поле,

$$\Gamma_{\theta,\alpha}(\mathbf{k}) = UT \text{Im} \sum_q r_q^2 \left(G_{0,\mathbf{k}}^{(\theta,\alpha)} - G_{0,\mathbf{k}+q}^{(\theta,\alpha)} \right) \times \left(1 - \alpha \frac{\mathbf{h}(\mathbf{M}/M_L)}{\sqrt{\left(\Delta \varepsilon_{\mathbf{k},\alpha}^{(p,d)}(M_L, \mathbf{h}) \right)^2 + |V_{\mathbf{k}}|^2}} \right) \left\{ \frac{\sin^4(\vartheta_{\mathbf{k},\alpha})}{\sin^2(2\vartheta_{\mathbf{k},\alpha})/4} \right\} \quad (10)$$

— затухание этих состояний, обусловленное рассеянием электронов на флуктуациях случайных полей (верхняя строка в фигурных скобках соответствует $\theta = -1$, а нижняя — $\theta = +1$),

$$\Delta \varepsilon_{\mathbf{k},\alpha}^{(p,d)}(M_L, \mathbf{h}) = \frac{1}{2} \left(\varepsilon_{\mathbf{k},\alpha}^{(d)}(M_L) - \varepsilon_{\mathbf{k},\alpha}^{(p)}(M_L, \mathbf{h}) \right),$$

$$\varepsilon_{\mathbf{k},\alpha}^{(p,d)}(M_L, \mathbf{h}) = \frac{1}{2} \left(\varepsilon_{\mathbf{k},\alpha}^{(d)}(M_L) + \varepsilon_{\mathbf{k},\alpha}^{(p)}(M_L, \mathbf{h}) \right),$$

$$\varepsilon_{\mathbf{k},\alpha}^{(p)}(M_L, \mathbf{h}) = \varepsilon_{\mathbf{k}}^{(p)} - \alpha \mathbf{h} \mathbf{M} / M_L,$$

$$\varepsilon_{\mathbf{k},\alpha}^{(d)}(M_L) = \varepsilon_{\mathbf{k}}^{(d)} + U n_d / 2 + \alpha U M_L,$$

угол $\vartheta_{\mathbf{k},\alpha}$ определяется уравнением

$$\operatorname{tg}(2\vartheta_{\mathbf{k},\alpha}) = |V_{\mathbf{k}}|^2 / \left(\varepsilon_{\mathbf{k},\alpha}^{(p)}(M_L, \mathbf{h}) - \varepsilon_{\mathbf{k},\alpha}^{(d)}(M_L) \right).$$

Отметим, что, согласно (9), (10), так же как в модели двойного обмена, магнитное поле ведет к подавлению затухания симметризованных по спину электронных состояний с одновременным возрастанием емкости этих зон (за счет уменьшения числа антисимметризованных электронных состояний) и наоборот. Однако данный эффект оказывается незначительным на фоне подавления магнитным полем (вследствие роста намагнитченности) амплитуды флуктуаций обменных полей и вызванных ими флуктуаций зарядовых полей.

Анализируя выражения (9) и (10), из условия $\Gamma_{\theta,\alpha}(\mathbf{k}) > \varepsilon_{\mathbf{k}}^{(\theta,\alpha)}(\mathbf{h})$ получаем, что энергетические интервалы сильно затухающих состояний лежат вблизи краев подзон $A_{(\alpha)}$ (т.е. $\theta = -1$, $\alpha = \pm 1$) и $B_{(\alpha)}$ (т.е. $\theta = +1$, $\alpha = \pm 1$) и приближенно имеют ширину $E_C^{(\theta,\alpha)} = U^2 \langle m^2 \rangle / \Delta^{(\theta,\alpha)}$ ($\Delta^{(\theta,\alpha)}$ — ширина θ , α -подзоны, см. (9)). При этом данный интервал заметно увеличивается вблизи T_C за счет резкого возрастания полуширины функции распределения стохастических обменных полей.

Численный анализ полученных соотношений был выполнен в модели параболических зон применительно к $\text{La}_{0.67}\text{Ca}_{0.33}\text{MnO}_3$. При этом ширины исходных зон p - и d -электронов Δ_p и Δ_d , константа Хаббардовского отталкивания для d -электронов марганца U , отношение $V_{\mathbf{k}}/U$ были приняты равными $\Delta_p = 10\Delta_d = 10U$, $U = 1 \text{ eV}$, $V_{\mathbf{k}}/U = 0.1$. Данные значения соответствуют исходному ($T = 0$, $V = 0$, $h = 0$) положению химического потенциала, отвечающему заполнению p -зоны, равному 0.67, и значению намагнитченности насыщения в основном состоянии $3.67\mu_B$ на ячейку, что соответствует $\text{La}_{0.67}\text{Ca}_{0.33}\text{MnO}_3$ [14]. В этом случае спектр гибридизованных электронов образует четыре неперекрывающиеся подзоны: $A_{(-)}$, $B_{(-)}$, $A_{(+)}$ и $B_{(+)}$ (рис. 1). Химический потенциал располагается в $B_{(+)}$ -подзоне, эффективная масса электронов в которой при $T = T_C$ достигает значения, примерно равного 100 массам свободных (т.е. негибридизованных) электронов, в силу чего они могут быть отнесены к тяжелым фермионам. Подзона $B_{(-)}$ -состояний полностью заполнена, а подзоны $A_{(-)}$ - и $A_{(+)}$ -состояний пусты. Величина пороговой энергии $E_C^{(\theta,\alpha)}$ для

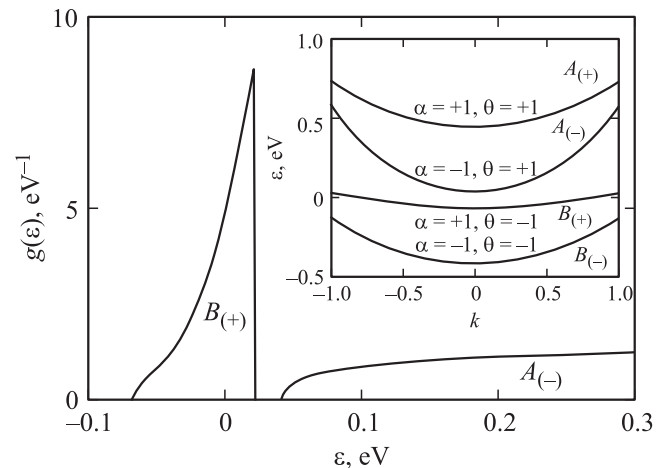


Рис. 1. Плотности электронных состояний в подзонах $B_{(+)}$ и $A_{(-)}$ для $\text{La}_{0.67}\text{Ca}_{0.33}\text{MnO}_3$ вблизи точки Кюри в отсутствие магнитного поля. Начало отсчета энергии совпадает с положением химического потенциала. На вставке — модель электронного спектра $\text{La}_{0.67}\text{Ca}_{0.33}\text{MnO}_3$ вблизи точки Кюри; k — модуль электронного квазимпульса в единицах вектора Бриллюэна.

$A_{(\pm)}$ - и $B_{(-)}$ -подзон оказывается несущественной из-за больших значений ширин этих подзон. Поэтому, а также ввиду энергетической узости $B_{(+)}$ -подзоны в численных расчетах рассматривалась область сильно затухающих состояний только $B_{(+)}$ -подзоны. Вследствие взаимного расположения подзон наиболее вероятными процессами термической активации являются температурные переходы из $B_{(+)}$ - в $A_{(-)}$ -состояния (рис. 1).

Особо отметим, что в рассматриваемой модели флуктуации спиновой плотности формируются в зоне тяжелых фермионов. При этом в соответствии с формулой (7) включение внешнего магнитного поля приводит к резкому их подавлению. Выполненный численный анализ показывает, что этот эффект обусловлен аномальным влиянием спинового ангармонизма, который в знаменателе формулы (7) представлен слагаемым, содержащим коэффициент спиновой жесткости. На рис. 2 показана температурная зависимость величины коэффициента κ , которая аномально резко изменяется вблизи точки Кюри.

Переходя к анализу аномальной температурно-полевой зависимости проводимости (в частности, эффекта КМС), воспользуемся простейшим выражением для электропроводности. При этом ограничимся анализом немагнитного рассеяния, считая, что время свободного пробега электронов одинаково для всех гибридизационных состояний,

$$\sigma = \frac{e^2}{2m_1^*(h)} n_1(T, h)\tau + \frac{e^2}{2m_2^*(h)} n_2(T, h)\tau.$$

Здесь $m_1^*(h)$ и $m_2^*(h) (\approx \text{const})$ — эффективные массы тяжелых и термически активированных электронов, рассчитываемые путем дифференцирования спектров (9),

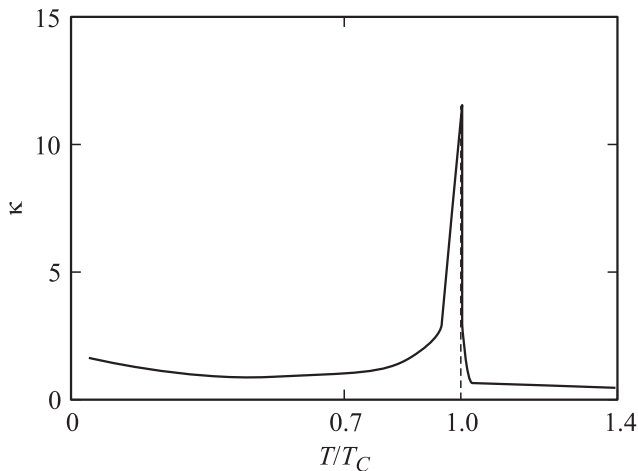


Рис. 2. Температурная зависимость коэффициента спиновой жесткости $\text{La}_{0.67}\text{Ca}_{0.33}\text{MnO}_3$.

$n_1(T, h)$ и $n_2(T, h)$ — концентрации делокализованных тяжелых и термически активированных в ближайшую верхнюю зону (преимущественно p -подобных) $A_{(-)}$ -состояний электронов.

Температурно-полевые зависимости $n_1(T, h)$ и $n_2(T, h)$ определялись на основе полученных выражений для электронных спектров (см. (9, 10)) и плотностей состояний, найденной через эти спектры. При этом в силу того, что рассчитывалась только полевая зависимость электросопротивления (при фиксированной температуре), вклады, обусловленные перескоками по локализованным состояниям, оказались пренебрежимо малыми.

Вблизи точки Кюри рассчитанное магнитосопротивление отрицательно и в поле с индукцией 1 Т составляет по абсолютной величине 78% (в эксперименте 84% [14]). Отметим также, что составы $\text{La}_{1-x}\text{Ca}_x\text{MnO}_3$ с $x < 0.35$ близки к условию, когда магнитный момент, приходящийся на узел, перестает изменяться с температурой и магнитным полем [11] еще в ферромагнитной области: $M_L(T, h) \approx M_S$. В этих условиях температурно-полевая зависимость пороговой энергии, отделяющей зонные состояния от сильно затухающих, имеет вид

$$E_C^{(\theta, \alpha)} = (U^2/\Delta^{(\theta, \alpha)})M_S^2 [1 - (M(T, h)/M_S)^2].$$

В парамагнитном состоянии ($T > T_C$) и $h = 0$ величины $E_C^{(\theta, \alpha)} = U^2M_S^2/\Delta^{(\theta, \alpha)}$ остаются неизменными, и новых сильно затухающих состояний не возникает. В свою очередь возрастание намагниченности с увеличением магнитного поля подавляет флуктуации обменных полей, что выражается в уменьшении полуширины функции распределения и ведет к уменьшению $E_C^{(\delta, \alpha)}$, являясь причиной индуцированного магнитным полем фазового перехода.

Таким образом, в условиях, когда химический потенциал находится вблизи гибридационной щели, „бывшие“ p , d -электроны, заполняющие состояния A -, B -подзон, оказываются ответственными за магнетизм и перенос электрического тока, что и является причиной

аномальной взаимосвязи магнитной и электронной подсистем. Поэтому в сильно коррелированных магнитных полупроводниках на основе манганитов редкоземельных металлов допирование двухвалентными примесями приводит к аномальному увеличению величины $\langle m^2 \rangle$, а значит, и магнитосопротивления вблизи T_C .

Список литературы

- [1] R. Allub, B. Alascio. *Solid State Commun.* **99**, 613 (1996).
- [2] N.G. Bebenin, V.V. Ustinov. *J. Phys.: Cond. Matter.* **10**, 6301 (1998).
- [3] Э.Л. Нагаев. *УФН* **168**, 917 (1998).
- [4] Л.П. Горьков. *УФН* **168**, 665 (1998).
- [5] Ю.А. Изюмов, Э.З. Курмаев. *УФН* **178**, 25 (2008).
- [6] Ю.П. Сухоруков, А.В. Телегин, А.Б. Грановский, Е.А. Ганьшина, С.В. Наумов, Н.В. Костромитина, Л.В. Елохина, Х. Гонзалес. *ЖЭТФ* **138**, 402 (2010).
- [7] Н.Г. Бебенин, Р.И. Зайнуллина, В.В. Машкауцан, В.С. Гавико, В.В. Устинов, Я.М. Муковский, Д.А. Шулятев. *ЖЭТФ* **117**, 1181 (2000).
- [8] I. Solovyev. *J. Phys. Soc. Jpn.* **78**, 5, 054710 (2009).
- [9] А.Г. Волков, А.А. Повзнер, О.В. Подшивалова, К.А. Шумихина, О.В. Аношина. *Изв. вузов. Физика.* **49**, 11, 3 (2006).
- [10] J.C. Knott, D.C. Pond, R.A. Lewis. *Physics B* 1:2, doi: 10.1186/1754-0429-1-2 (2008).
- [11] А.А. Повзнер, А.Г. Волков, П.В. Баянкин. *ФТТ* **40**, 8, 1437 (1998).
- [12] Т. Мория. *УФН* **135**, 119 (1981).
- [13] А.А. Повзнер, А.Г. Волков, А.Н. Филанович. *ФТТ* **53**, 1672 (2011).
- [14] B.I. Belevtsev, D.G. Naugle, K.D.D. Rathnayaka, A. Parasiris, J. Fink-Finowicki. *Physica B* **355**, 341 (2005).